

«ОКЕАН-205»

(Выпуск 1973 г.)

АМ-ЧМ радиоприемник II класса на 19 транзисторах и 18 диодах

ОСНОВНЫЕ ТЕХНИЧЕСКИЕ ДАННЫЕ

Диапазоны принимаемых волн:
ДВ, СВ, КВ-I 25 м (11,7...12,1 МГц),
КВ-II 31 м (9,5...9,8 МГц),
КВ-III 41 м (7,1...7,3 МГц), КВ-II
49 м (5,95...6,2 МГц),

КВ-I 52...75 м (3,95...5,95 МГц), УКВ
4,36...4,11 м (65,8...73 МГц)

Максимальная чувствительность (при
выходной мощности 50 мВт):

на ДВ 250 мкВ/м, на СВ 100 мкВ/м,
на КВ 20 мкВ/и на УКВ 20 мкВ

Реальная чувствительность:

на ДВ 1,0 мВ/м, на СВ 0,5 мВ/м,
на КВ 50 и на УКВ 20 мкВ

Избирательность по соседнему ка-
налу:

на ДВ и СВ не менее 46 дБ

Усредненная крутизна ската резонанс-
ной характеристики в диапазоне УКВ
в интервале ослабления сигнала 6...26
дБ не менее 0,20 дБ/кГц

Ослабление сигнала зеркального ка-
нала:

на ДВ 60 дБ, на КВ 26 дБ и на
УКВ 40 дБ

Действие АРУ:

при изменении входного сигнала
на 40 дБ напряжение на выходе из-
меняется не более чем на 6 дБ

Полоса воспроизводимых звуковых
частот:

в диапазонах ДВ, СВ и КВ
160...5000, в диапазоне УКВ 160...
10 000 Гц

Номинальная выходная мощность при
коэффициенте нелинейных искажений
всего тракта усиления приемника:
не более 4%: 500 мВт

Среднее звуковое давление в полосе
воспроизводимых звуковых частот:
не менее 0,4 Па

Источник питания:

6 элементов типа 373 или сеть 50 Гц
127, 220 В

Напряжение питания 9 В

Ток, потребляемый приемником при
отсутствии сигнала не более 25 мА

Работоспособность приемника сохра-
няется при снижении напряжения пи-
тания до 3,0 В

Продолжительность работы приемни-
ка от одного комплекта батарей типа
373 при средней громкости:
не менее 100 ч

Габаритные размеры 367×255×119 мм

Масса 4,5 кг

ПРИНЦИПИАЛЬНАЯ ЭЛЕКТРИЧЕСКАЯ СХЕМА

Приемник «Океан-205» разработан на базе приемника «Океан» и отличает-
ся от него лишь внешним оформлением и незначительными изменениями
в принципиальной электрической схеме. Схема приемника состоит из четырех
блоков: УКВ, КСДВ, ВЧ-ПЧ и УНЧ.

Блок УКВ — унифицированный типа УКВ-2-2Е (рис. 43). Основные его
характеристики приведены выше при описании приемников «Спидола-207»,
«Спидола-208» (стр. 42).

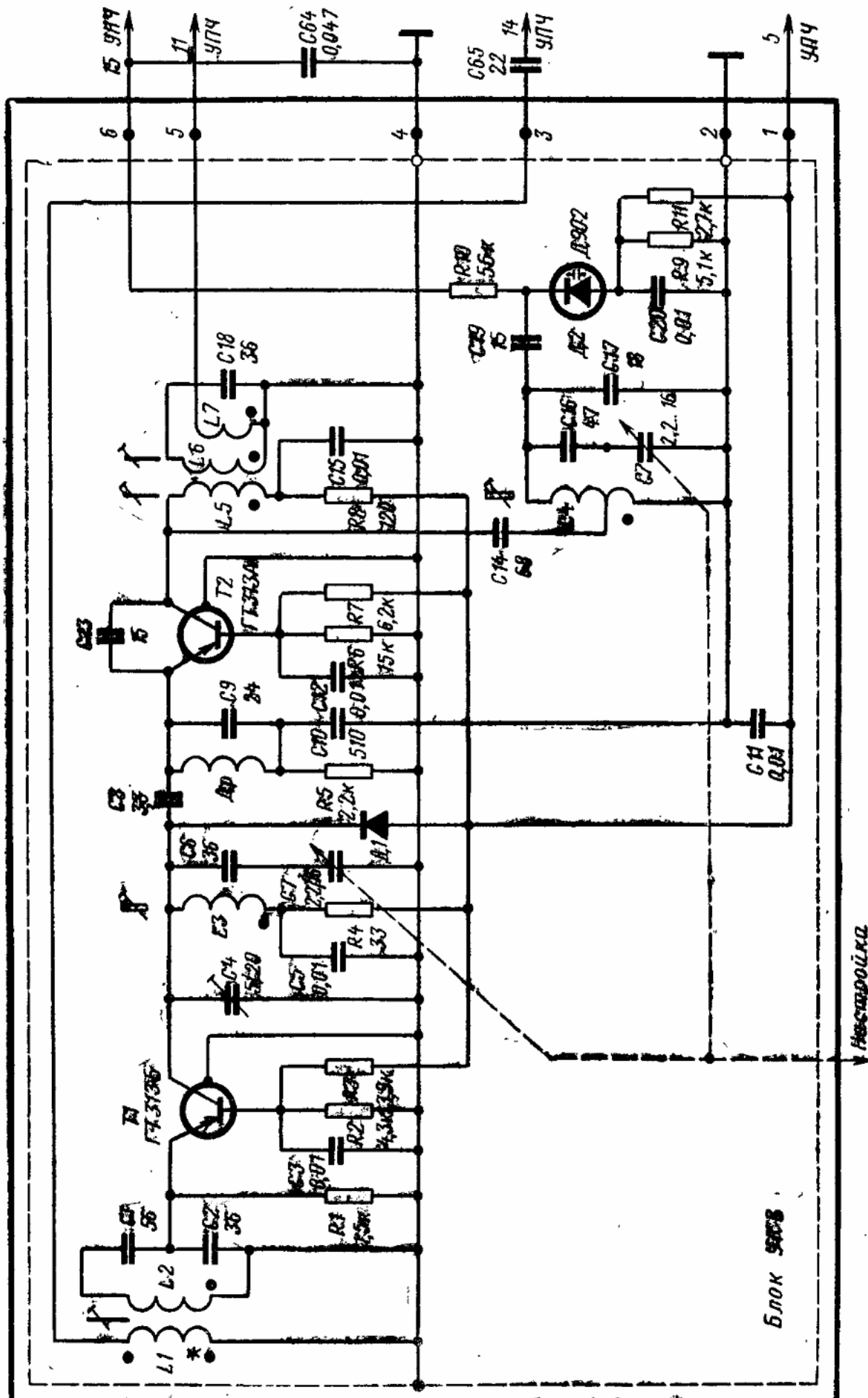
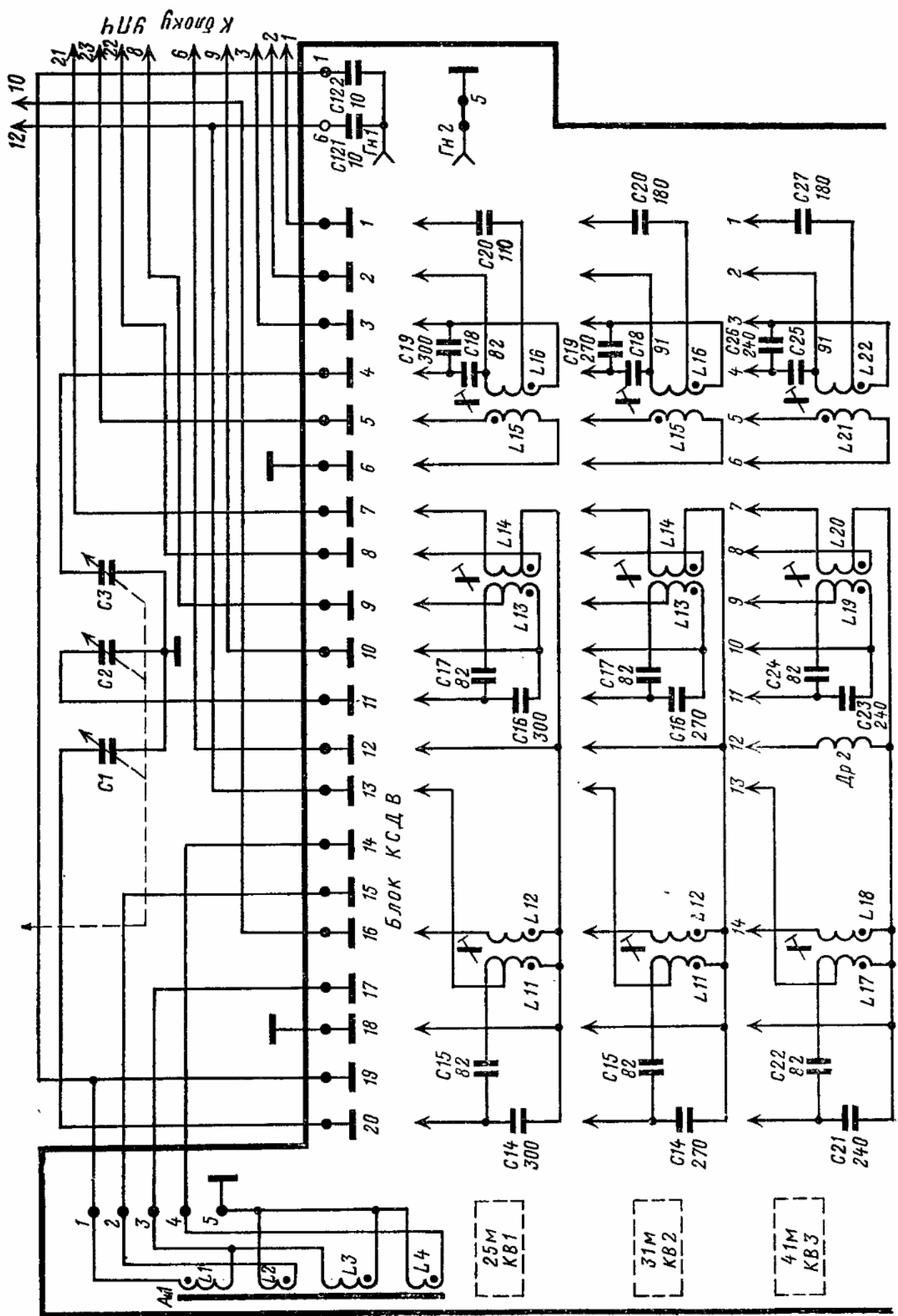


Рис. 43. Принципиальная схема блока УКВ приемника «Океан-205».



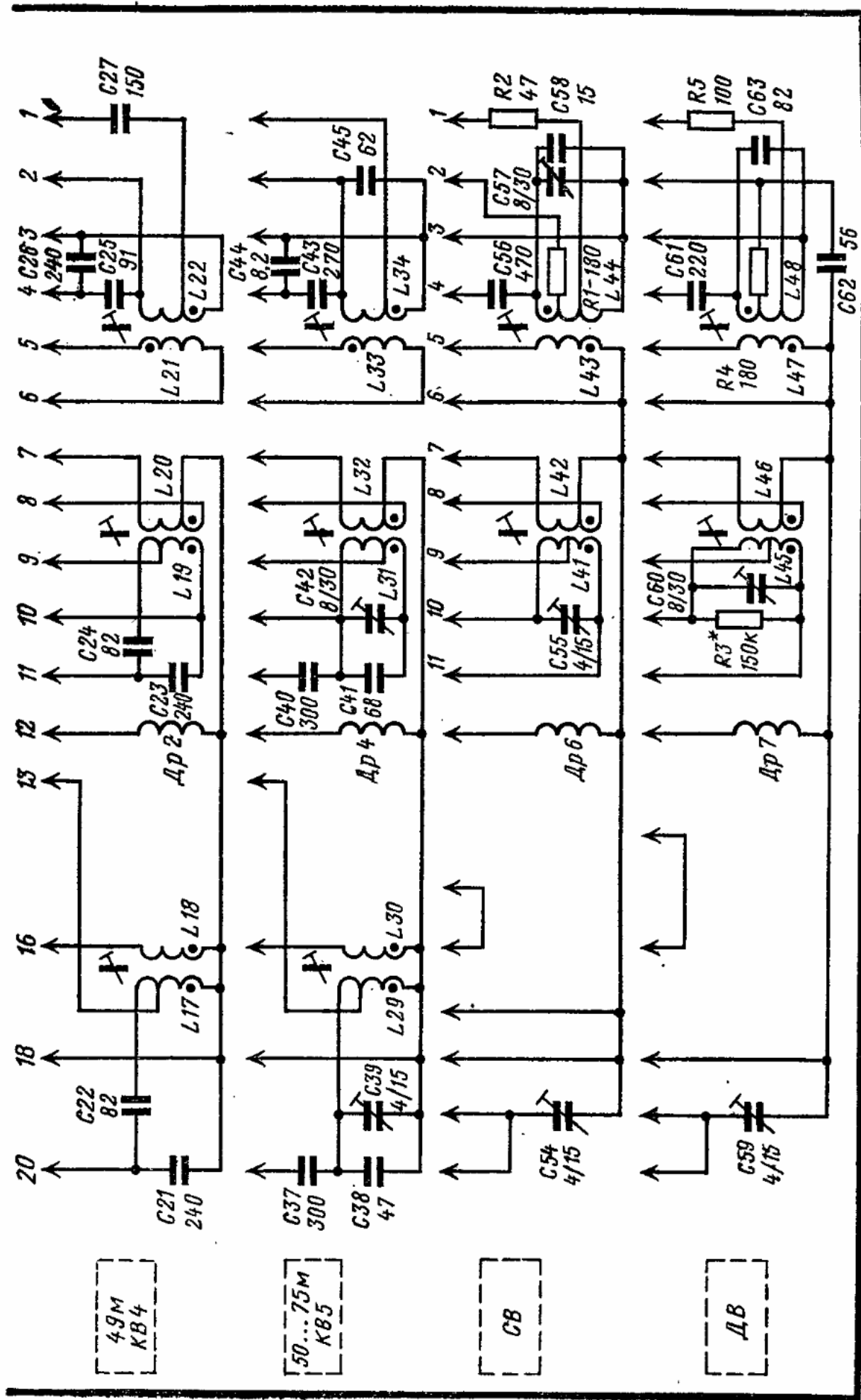


Рис. 44. Принципиальная схема блока КСДВ приемника «Океан-205».

В блоке КСДВ (рис. 44) размещены барабанный переключатель диапазонов, узел магнитной антенны (МА) *An1* и трехсекционный КПЕ (*C1..C3*). На планках барабанного переключателя установлены катушки и конденсаторы входных контуров, усилителя ВЧ и гетеродина.

Катушки входных контуров диапазонов ДВ (*L3*) и СВ (*L1*) и соответствующие им катушки связи *L4* и *L2* намотаны на ферритовом стержне МА. При работе на ДВ катушки *L1* и *L3* включаются последовательно, а на СВ катушка *L3* замыкается накоротко.

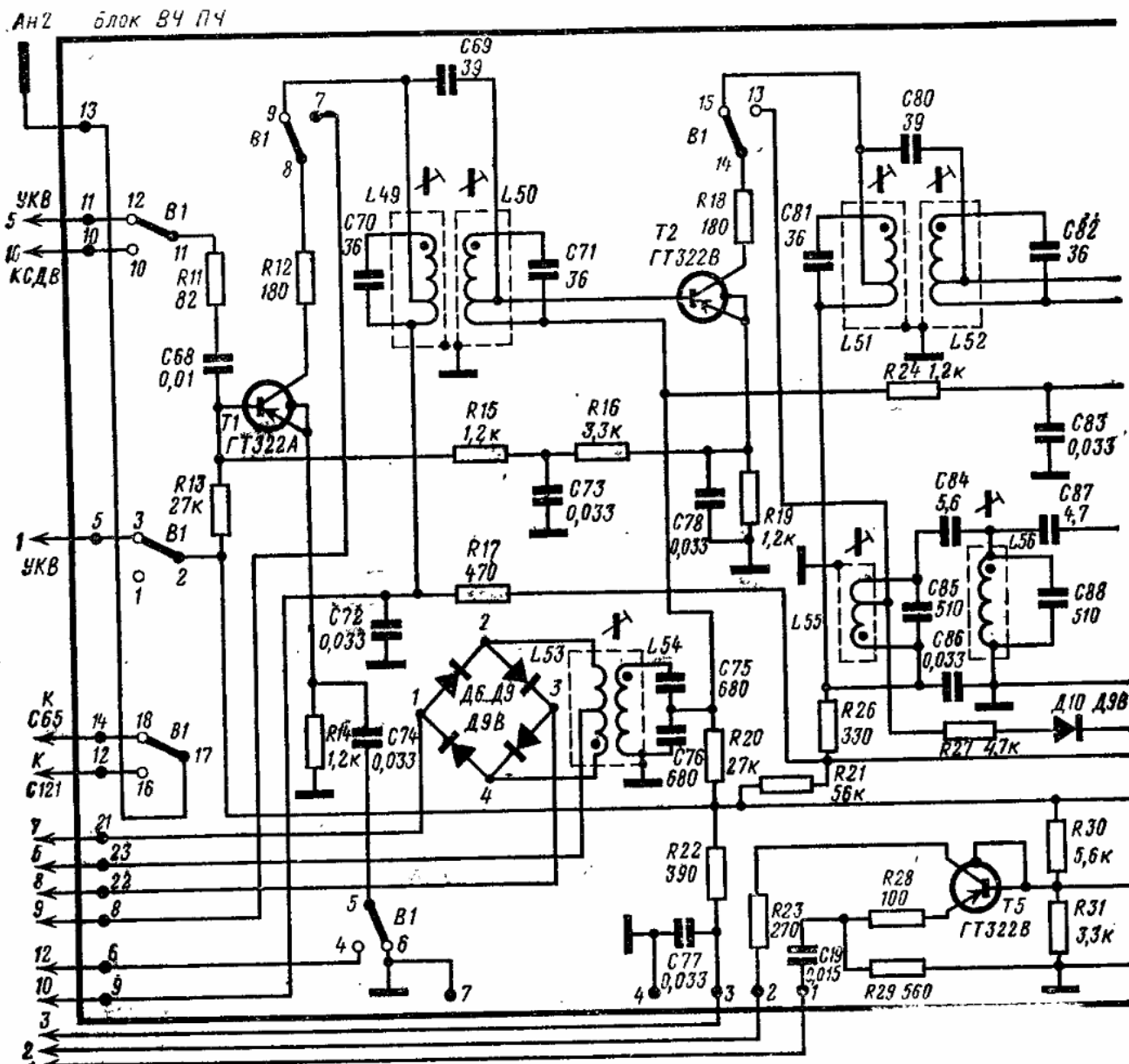


Рис . 45. Принципиальная схема блока

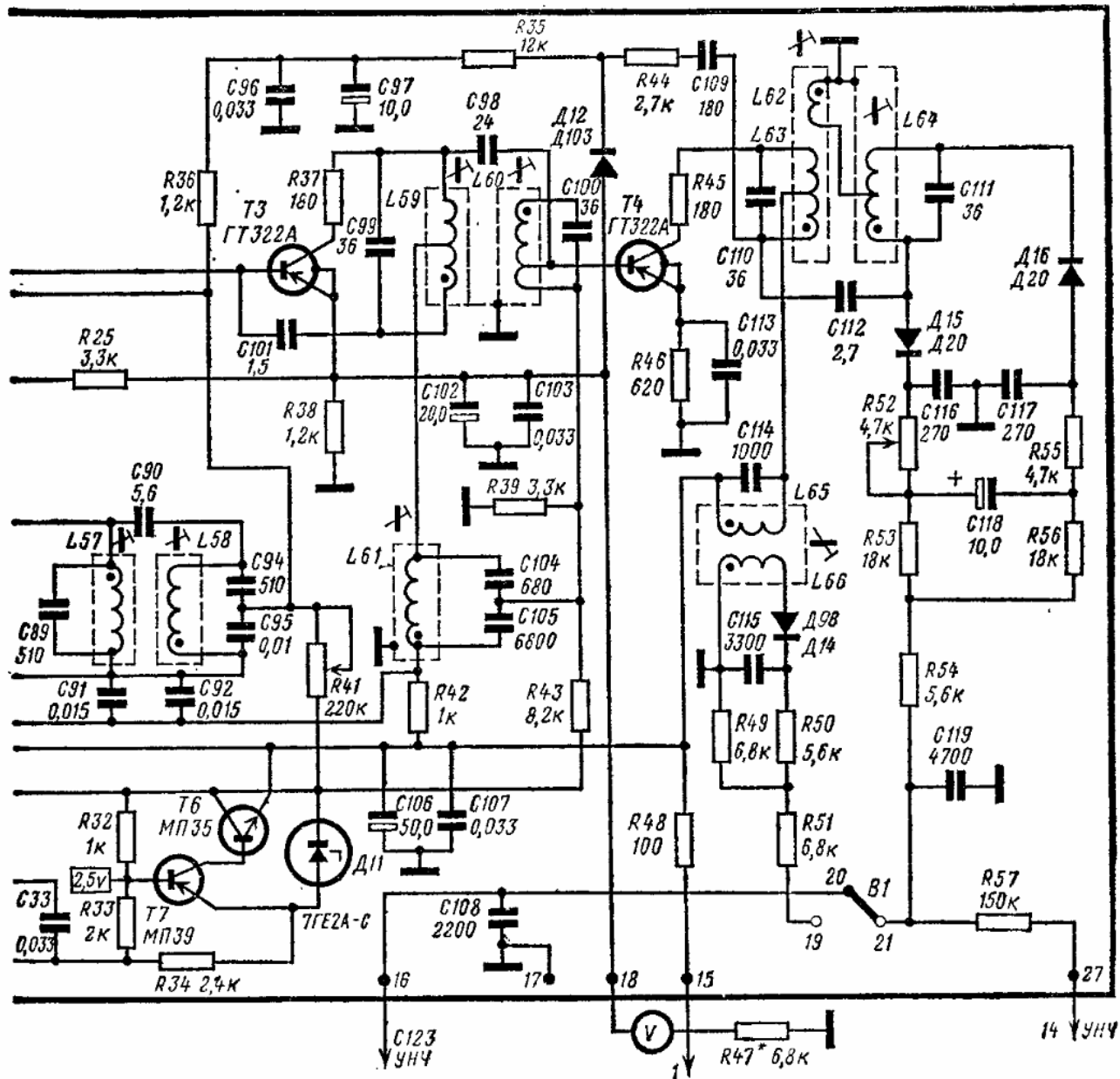
Внешняя антenna подключается к входным контурам в диапазонах ДВ и СВ через конденсатор *C122*, а в диапазоне КВ — через *C121*. Связь штыревой (телескопической) антенны *An2* с входными контурами автотрансформаторная. Входные контуры диапазонов ДВ и СВ с базой транзистора *T1* усилителя ВЧ связаны индуктивно.

В блок ВЧ-ПЧ входят усилитель ВЧ-АМ, гетеродин АМ, кольцевой смеситель, усилители ПЧ трактов АМ и ЧМ, детекторы сигналов АМ и ЧМ (рис. 45).

На плате блока ВЧ-ПЧ размещены также переключатель режима ЧМ-АМ, механически связанный с барабанным переключателем диапазонов, и стабилизатор напряжения питания. Стабилизированное напряжение подается на блок УКВ, в цепи баз транзисторов усилителя ПЧ и гетеродина АМ.

Усилитель ПЧ трактов АМ в ЧМ совмещенный, т. е. в нем используются одни и те же транзисторы. Усилитель ПЧ-АМ трехкаскадный, первым каскадом его служит усилитель ВЧ-АМ.

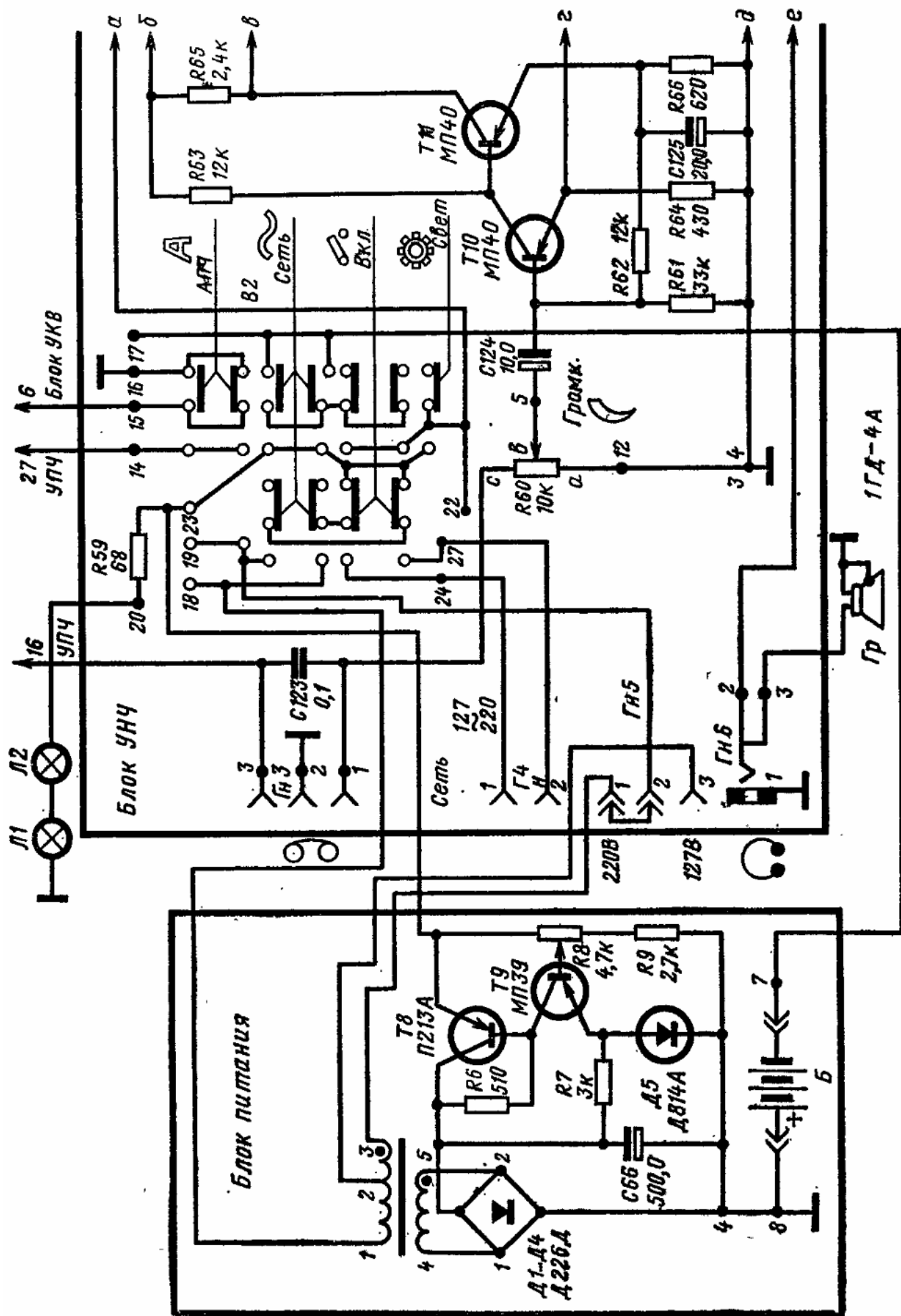
Усилитель ВЧ-АМ — резонансный, он выполнен на транзисторе $T1$ типа ГТ322А по схеме с общим эмиттером. На диапазонах АМ, кроме поддиапазонов 25 и 31 м, параллельно эмиттерному резистору $R14$ через конденсатор $C74$ подключается дроссель высокой частоты ($Др2\dots Др7$) блока КСДВ, с помощью которого создается частотно-зависимая отрицательная обратная связь, обеспечивающая равномерность коэффициента усиления в рабочем диапазоне при-



ВЧ-ПЧ приемника «Океан-205».

емника. Такая схема в диапазонах ДВ и СВ обеспечивает дополнительное ослабление зеркальных и побочных каналов приема.

Смеситель частоты выполнен по балансной кольцевой схеме на диодах D6...D9 типа D9B. Диоды включены с односторонней направленностью. Смеситель имеет симметричный вход для напряжения сигнала, который подводится к диагонали моста (точки 1, 3). В другую диагональ моста через катушку связи L53 поступает напряжение гетеродина (точки 2, 4). Колебательный контур L54, C75, C76 настроен на частоту 465 кГц, поэтому на базе транзистора T2 усилителя ПЧ-АМ будет напряжение сигнала ПЧ. Гетеродин тракта АМ выполнен на транзисторе T5 типа GT322B по схеме индуктивной трехточки. Коэффи-



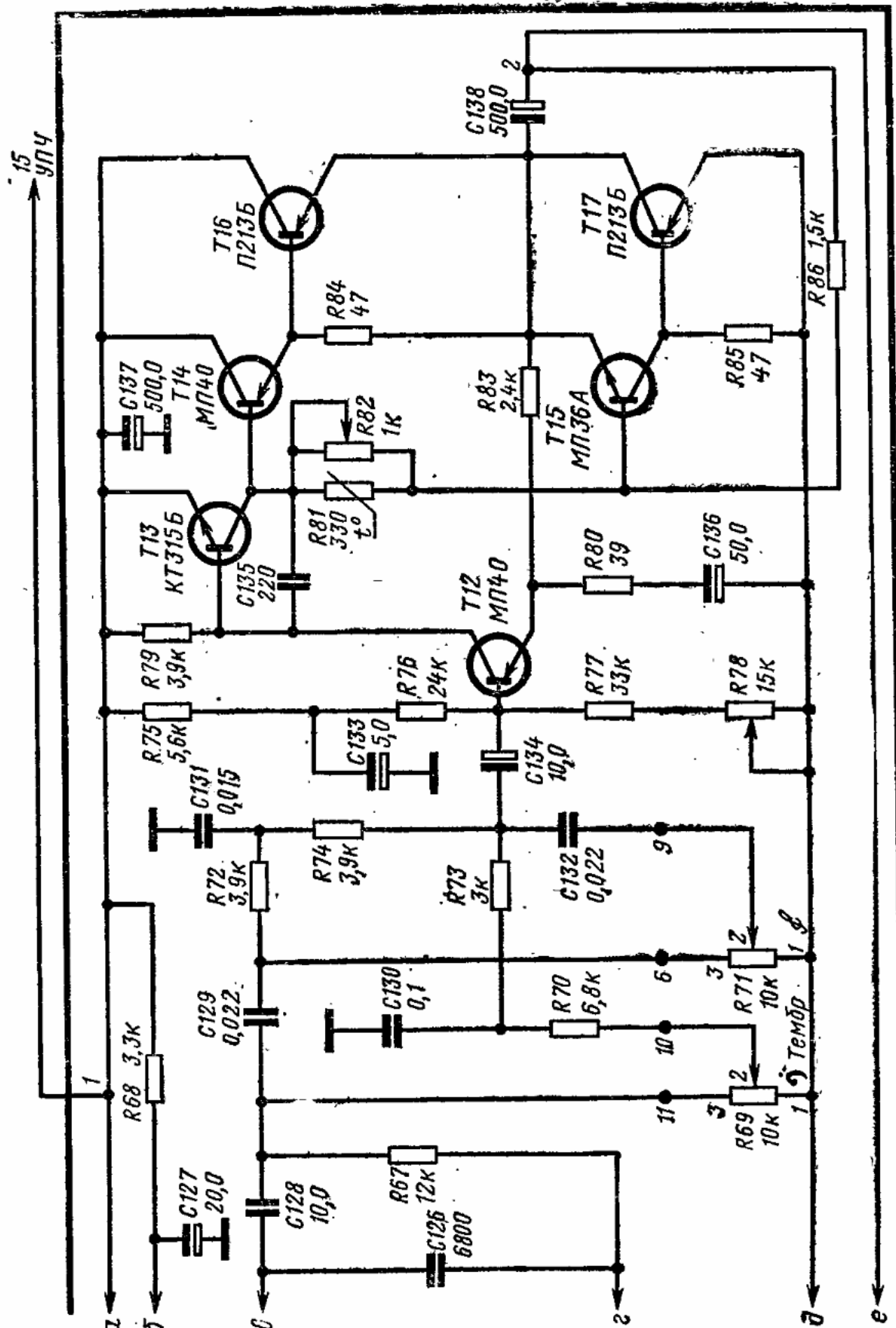


Рис. 46. Принципиальная схема блоков УНЧ и питания приемника «Океан-205».

циент передачи кольцевого смесителя меньше, чем у транзисторного, однако он лучше подавляет паразитные каналы приема, кроме того, у кольцевого смесителя меньше паразитное излучение гетеродина.

С делителя $C75, C76$ напряжение ПЧ поступает на базу первого каскада усилителя ПЧ-АМ (транзистор $T2$ типа ГТ322В). Нагрузкой его служит четырехконтурный ФСС. С емкостного делителя $C94, C95$ последнего контура ФСС напряжение сигнала ПЧ подается на базу второго каскада усилителя ПЧ-АМ (транзистор $T3$ типа ГТ322А), включенного по схеме с общим эмиттером. В коллекторную цепь этого транзистора последовательно включены полосовой фильтр ПЧ-ЧМ $L59 C99$ и $L60 C100$ и контур ПЧ-АМ $L61 C104 C105$.

Напряжение ПЧ с емкостного делителя $C104, C105$ через отвод катушки $L60$ подается на базу транзистора $T4$ — третьего каскада усилителя ПЧ-АМ (ГТ322А). В его коллекторную цепь последовательно включены первый контур частотного детектора $L63C110$ и контур ПЧ-АМ ($L65C114$). Напряжение на детектор АМ снимается с катушки связи $L66$ контура ПЧ-АМ. В качестве детектора сигнала АМ используется диод $D14$ Д9В. Напряжение звуковой частоты через конденсатор $C115$ и делитель напряжения $R50, R49, R51$ поступает на регулятор громкости $R60$. Сопротивление резистора $R51$ выбрано таким, чтобы напряжения звуковой частоты на выходе усилителя НЧ при работе приемника в диапазонах АМ и ЧМ были одинаковыми.

В диапазоне УКВ блок ВЧ-ПЧ работает как усилитель ПЧ тракта ЧМ.

В этом случае база транзистора $T1$ соединяется с выходом блока УКВ, а в коллекторную цепь транзистора включается полосовой фильтр $L49 C70$ и $L50 C71$ с внешнеемкостной связью (С69). Нагрузкой второго каскада усилителя ПЧ-ЧМ (транзистор $T2$) также является полосовой фильтр $L51 C81$ и $L52 C82$ с внешнеемкостной связью (С80). Последующие каскады усилителя ПЧ-ЧМ собраны на транзисторах $T3$ и $T4$ по совмещенной схеме, т. е. контуры ПЧ-АМ и ЧМ в коллекторных цепях этих транзисторов включены последовательно. Детектор ЧМ собран по схеме симметричного дробного детектора на диодах $D15$ и $D16$ типа Д20. С выхода дробного детектора напряжение звуковой частоты через цепочку частотной коррекции $R54C119$ попадает на переключатель АМ-ЧМ и затем на регулятор громкости усилителя НЧ.

Транзисторы усилителя ПЧ (как АМ, так и ЧМ) включены по схеме ОЭ.

Система АРУ в режиме АМ работает следующим образом. Напряжение сигнала из коллекторной цепи транзистора $T4$ через цепочку $C109R44$ подводится к детектору АРУ $D12$ типа Д103. Затем выпрямленное напряжение подается через фильтр $R35, C97, C96$ и $R36$ на базу и эмиттер транзистора $T3$. При этом ток эмиттера этого транзистора уменьшается, а следовательно, уменьшается и падение напряжения на резисторе $R38$, соединенном с базой транзистора $T2$. Ток этого транзистора падает, уменьшается и напряжение на резисторе $R19$, в цепи его эмиттера. Это напряжение через фильтр $R16, C73$ и $R15$ поступает на базу транзистора $T1$ — усилителя ВЧ-АМ. При уменьшении напряжения на базе транзистора $T1$ ток его эмиттера тоже падает. Таким образом, увеличение сигнала на детекторе АРУ $D12$ приводит к последовательному регулированию токов второго и первого каскадов усилителя ПЧ и УВЧ. Чтобы повысить эффективность работы системы АРУ тракта АМ, параллельно контуру ФСС $L55C85$ подключается цепь $R27, D10$ (типа Д9В), шунтирующее действие которой возрастает при уменьшении тока коллектора транзистора $T3$.

Аналогично действует система АРУ в режиме приема ЧМ сигнала. При этом шунтирующая цепь $R27D10$ отключается. Для удобства настройки приемника на частоту принимаемой радиостанции в эмиттерную цепь транзистора $T3$ параллельно резистору $R38$ включен стрелочный индикатор (V) тип М476/2.

Стабилизатор напряжения. Для повышения устойчивости частоты гетеродина и сохранения чувствительности приемника при глубоком разряде батарей питание гетеродина АМ, блока УКВ и базовых цепей транзисторов $T1, T2, T3$ и $T4$ усилителя ПЧ осуществляется от стабилизатора напряжения питания (транзисторы $T6, T7$ и диод $D11$).

Схема его аналогична схеме стабилизатора напряжения блока УПЧ приемника «Рига-104».

Стабилизатор обеспечивает постоянное напряжение 4 В при глубоком (на 30%) разряде батарей источника питания. Кроме того, он позволяет устранить пульсации напряжения питания при работе оконечного каскада в режиме максимальной громкости.

Усилитель НЧ — шестикаскадный (рис. 46) на восьми транзисторах ($T10 \dots T17$). Первый и второй каскады собраны на транзисторах $T10$ и $T11$ типа МП40 с непосредственной связью между ними. Режимная и температурная стабилизация этих каскадов осуществляется благодаря глубокой отрицательной обратной связи по постоянному току ($R62, R61, R66$).

В цепь межкаскадной связи транзисторов $T11$ и $T12$ включены цепи регуляторов тембра по низкой $R69$ и высокой $R71$ звуковым частотам. Следующие два каскада выполнены на транзисторах $T12$ типа МП40 и $T13$ типа КТ315Б, включенных по схеме с общим эмиттером. Пятый каскад фазоинверсный, он работает на транзисторах $T14$ типа МП40 структуры $p-n-p$ и $T15$ типа МП36А структуры $n-p-n$.

Оконечный каскад построен по последовательной двухтактной бестрансформаторной схеме на транзисторах $T16$ и $T17$ типа П213Б. Нагрузкой его служит динамическая головка громкоговорителя типа 1ГД-4А с сопротивлением звуковой катушки 8 Ом.

Последние четыре каскада усилителя НЧ охвачены частотно-независимой отрицательной обратной связью, напряжение которой снимается с нагрузки усилителя и подается через резистор $R83$ на эмиттер транзистора $T12$. Температурная стабилизация режима оконечного каскада осуществляется терморезистором $R81$, включенным в цепь базового делителя фазоинверсного каскада.

К приемнику можно подключить магнитофон на запись (через гнездо Гн3, связанное с выходом детектора) и малогабаритный телефон ТМ-4 (через гнездо Гн6). При подключении телефона громкоговоритель приемника автоматически отключается.

Блок питания (рис. 46) представляет собой двухполупериодный выпрямитель, собранный на диодах $D1 \dots D4$ типа Д226Д по мостовой схеме с емкостным фильтром ($C66$) и электронным стабилизатором напряжения.

В стабилизаторе используются транзисторы $T8$ (П213А), $T9$ (МП39) и кремниевый стабилитрон $D5$ типа Д814А. Выходное напряжение стабилизатора 9 В. Стабилизатор питается от сети 50 Гц 127, 220 В.

Режимы работы транзисторов приемника «Океан-205» приведены в табл. 16—18.

КОНСТРУКЦИЯ И ДЕТАЛИ

Корпус состоит из средней части (основания) и передней и задней крышек. Крышки выполнены из ударопрочного полистирола с отделкой металлическими и пластмассовыми накладками. Средняя часть деревянная с покрытием шпоном. Шкала и все органы управления приемника расположены на лицевой панели и имеют соответствующие обозначения. Шкала приемника проградуирована в метрах. Кнопки включения АПЧ, сети питания, включения приемника, подсветки и ручки регулятора громкости, регуляторов тембра по высоким и низким звуковым частотам расположены слева, а ручка настройки приемника, индикатор настройки и указатель включенного диапазона — справа на лицевой панели корпуса. Ручка переключателя диапазонов находится справа на боковой стороне корпуса. На верхней крышке корпуса крепится ручка для переноса приемника и штыревая (телескопическая) антенна. На задней стенке установлена колодка с гнездами для подключения внешней антенны, заземления, магнитофона на запись, электросети и малогабаритного телефона типа ТМ-4. К нижней части корпуса под крышкой на шасси закреплена кассета для размещения элементов питания приемника. Внутри корпуса размещено шасси. На передней стенке находится динамическая головка (1ГД-4А). Конструкция приемника выполнена по функционально-блочному принципу, что позволяет производить его настройку поблочно. Основой шасси является металлический каркас (рама), на котором размещены блоки УКВ, КСДВ, ВЧ-ПЧ, УНЧ, а также

верньерное устройство. Монтаж блоков УКВ, КСДВ, ВЧ-ПЧ и УНЧ выполнен на печатных платах.

Блок УКВ — унифицированный типа УКВ-2-2Е. конструкция его рассмотрена при описании приемников «Спидола-207, 208» (стр. 42). Электромонтажная схема его печатной платы изображена на рис. 47.

Блок КСДВ выполнен в виде барабанного переключателя, на планках которого установлены контурные катушки, подстроечные конденсаторы и эле-

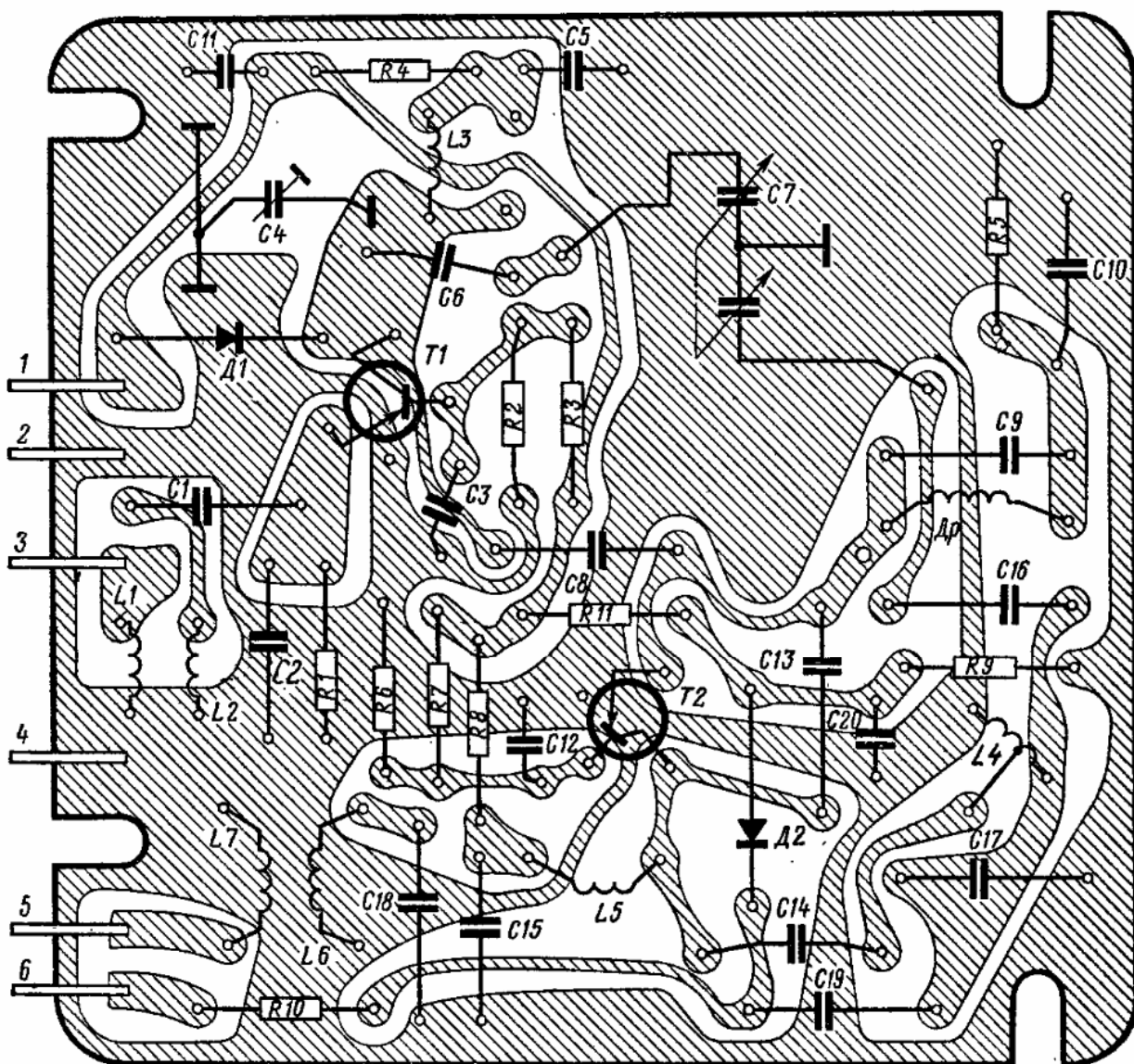


Рис. 47. Электромонтажная схема печатной платы блока УКВ приемника «Океан-205».

менты схемы каждого диапазона. Планки изготовлены из фольгированного гетинакса (рис. 48, 49). Катушки контуров намотаны на каркасах из блочного полистирола. Настройка гетеродинных катушек ДВ и СВ осуществляется сердечниками диаметром 2,8 длиной 12 мм из феррита марки 600НН, а входных и гетеродина КВ — из феррита марки 100НН.

В магнитной антенне используется ферритовый стержень марки 400НН диаметром 10 и длиной 200 мм. Настройка на частоту принимаемой радиостанции производится трехсекционным КПЕ с воздушным диэлектриком емкостью 10...430 пФ. Кинематическая схема верньерного устройства изображена на рис. 53.

Блок ВЧ-ПЧ смонтирован на печатной плате, на которой размещены узлы и детали усилителя ВЧ, гетеродина АМ, усилителей ПЧ-АМ-ЧМ, детекторов АМ и ЧМ, переключателя АМ-ЧМ (рис. 50).

Катушки контуров усилителя ПЧ намотаны на трехсекционных каркасах и помещены в ферритовые чашки диаметром 8,6 мм из материала марки 600НН (УПЧ-АМ) и 100НН (УПЧ-ЧМ). Кроме того, каждая катушка (в сборе) заключена в медный экран. Настройка катушек осуществляется сердечниками из феррита марки 600НН (УПЧ-АМ) и 100НН (УПЧ-ЧМ). Диаметр подстроекных сердечников 2,8, длина 12 мм.

Намоточные данные контуров приведены в табл. 19, распайка выводов показана на рис. 54.

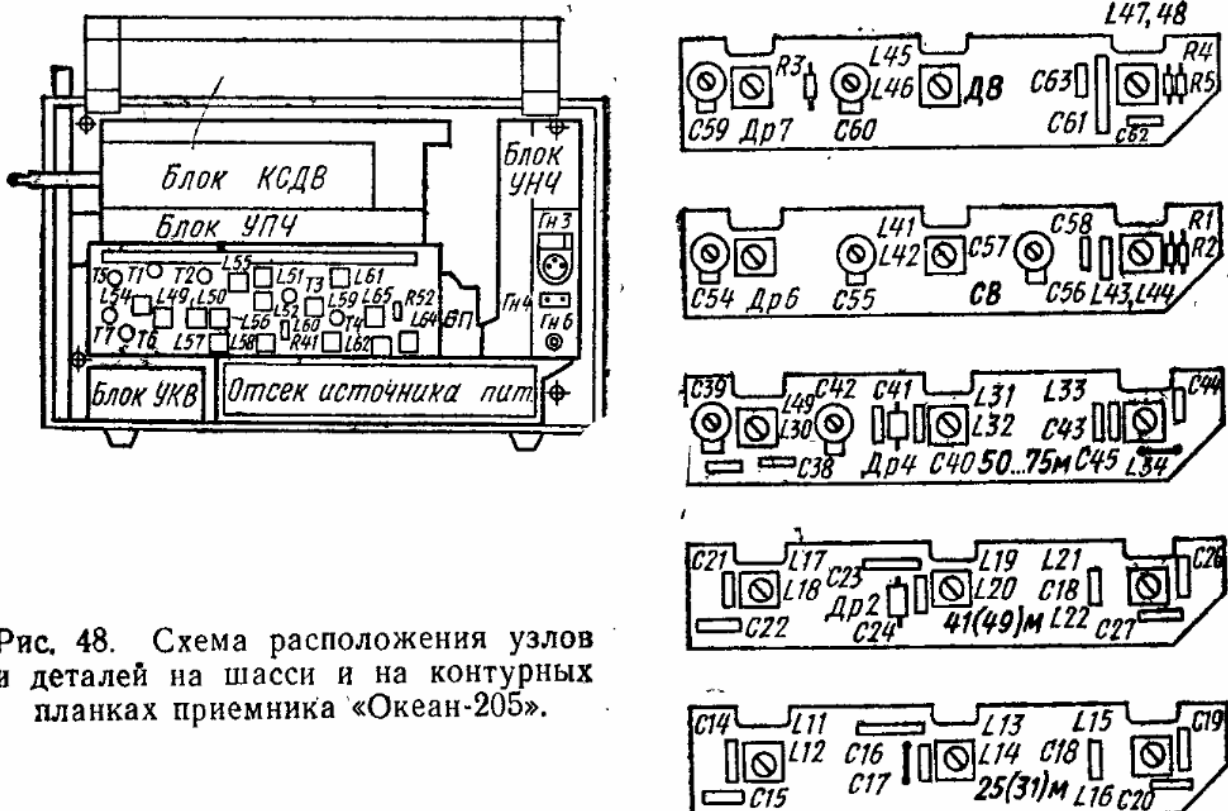


Рис. 48. Схема расположения узлов и деталей на шасси и на контурных планках приемника «Океан-205».

Блок УНЧ собран на печатной плате (рис. 51). Транзисторы оконечного каскада снабжены теплоотводящими радиаторами. Все транзисторы устанавливаются на специальных четырехконтактных панельках.

Блок питания включает в себя силовой трансформатор *Tr* (табл. 20) и печатную плату, на которой смонтированы детали выпрямителя и стабилизатора (рис. 52).

В приемнике применены узлы и детали следующих типов.

Резисторы *R8, R41, R52, R78, R82* – СП3-16; *R60* – СП3-12а; *R69* и *R71* – СП3-4а; *R7* и *R59* – МЛТ-0,5; *R6* – МЛТ-1; *R81* – СТ3-17; остальные резисторы BC-0,125.

Конденсаторы *C1...C3* – блок КПЕ-3; *C14...C27, C37, C38, C40, C41, C43...C45, C58, C61...C63, C65, C69...C71, C80...C82, C84, C87, C90, C98...C101, C109...C112, C116, C117, C121, C122, C135* – КТ-1; *C39, C42, C54, C55, C57, C59, C60* – КПК-МП; *C64, C68, C72...C79, C83, C86, C91...C93, C95, C96, C103...C105, C107, C108, C113, C115, C119* – К10-7В; *C56, C85, C88, C89, C94* – КСО-1; *C66, C102, C106, C118, C137, C138* – К50-6; *C128, C134, C136* – К50-12; *C97, C124, C125, C127, C133* – К50-3; *C114* – КЛС; *C123, C130* – МБМ; *C126, C129, C131, C132* – БМ-2; лампы *L1* и *L2* – МН-2,5-0,068; индикатор – М476/2.

В блоке УКВ: резисторы *R1...R11* – BC-0,125; конденсаторы *C1, C2, C6, C8, C9, C13, C14, C16...C19* – КТ-1а; *C3, C11, C12, C15, C20* – К10-7В; *C11* – ПМ-1 или ПМ-2; *C4* – КПК-МП; *C7* – КПЕ (2,2...16 пФ).

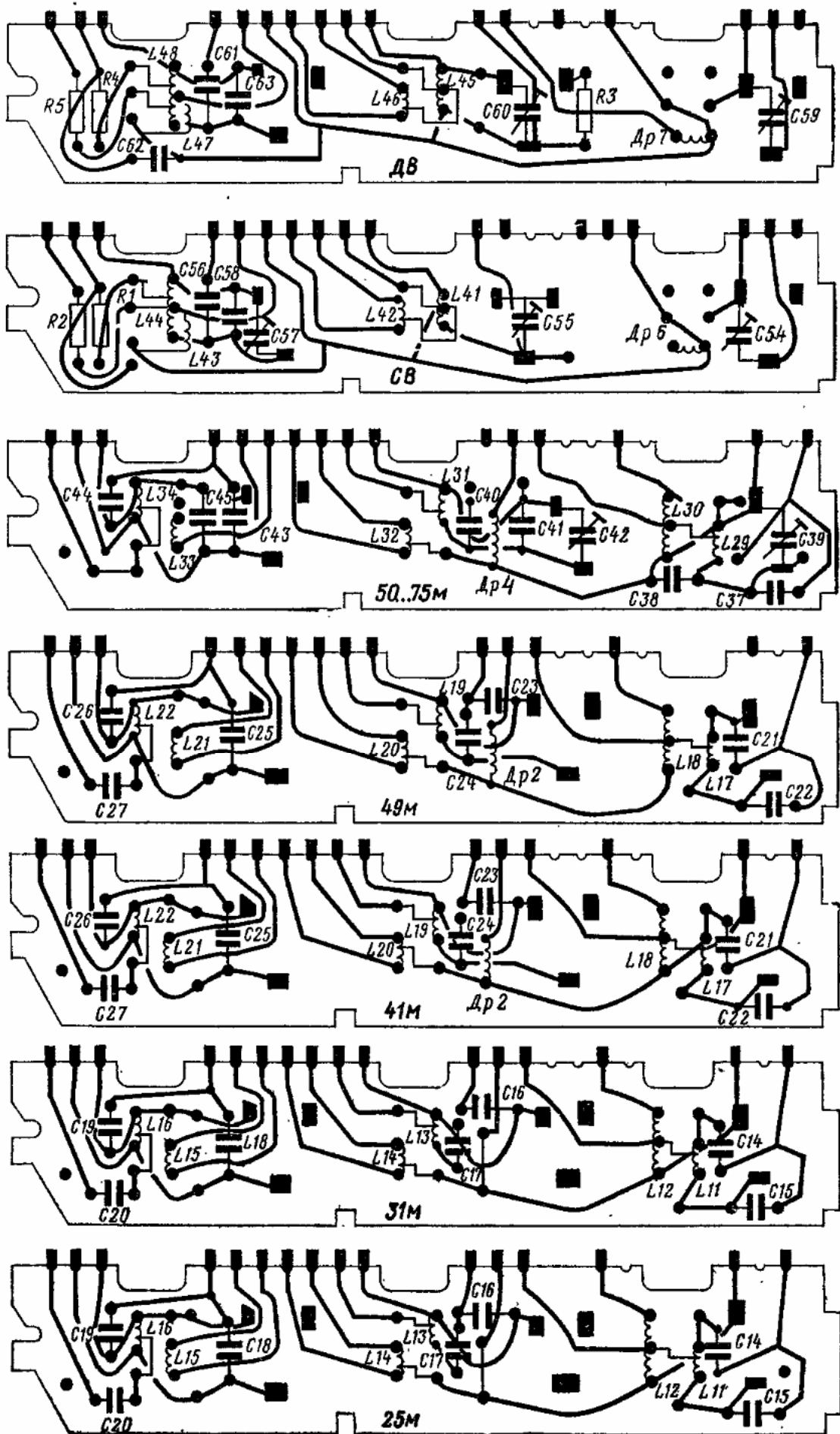


Рис. 49. Электромонтажная схема контурных планок приемника «Океан-205».

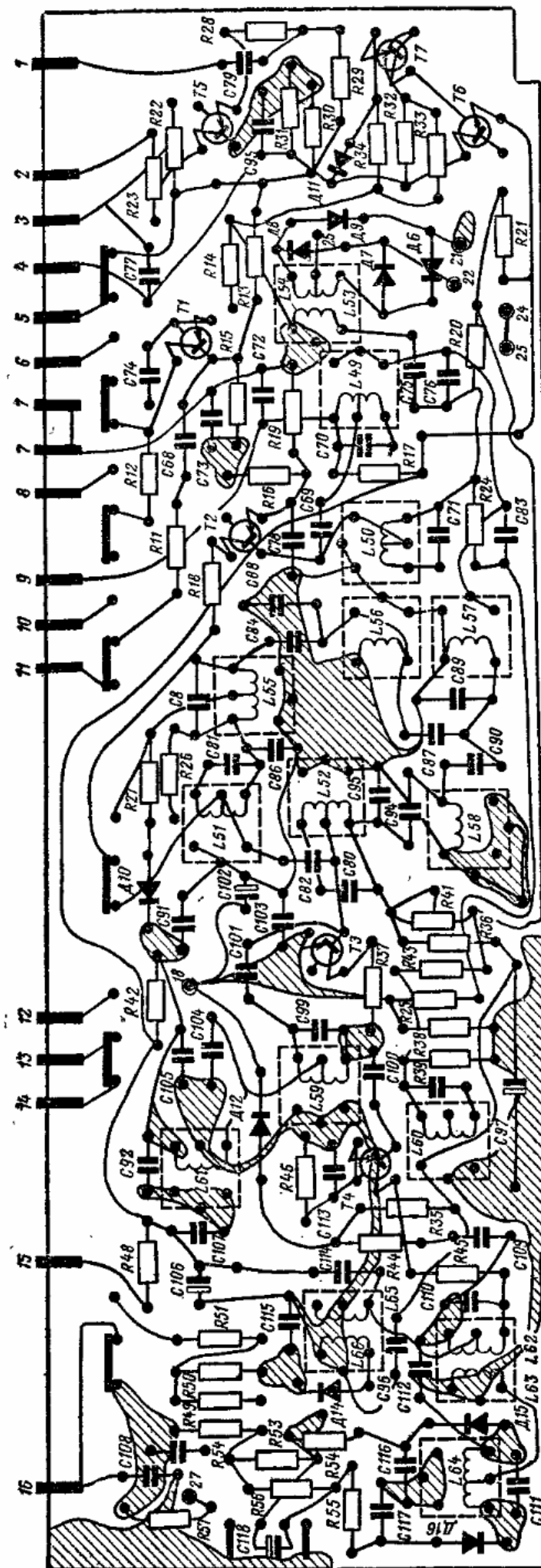
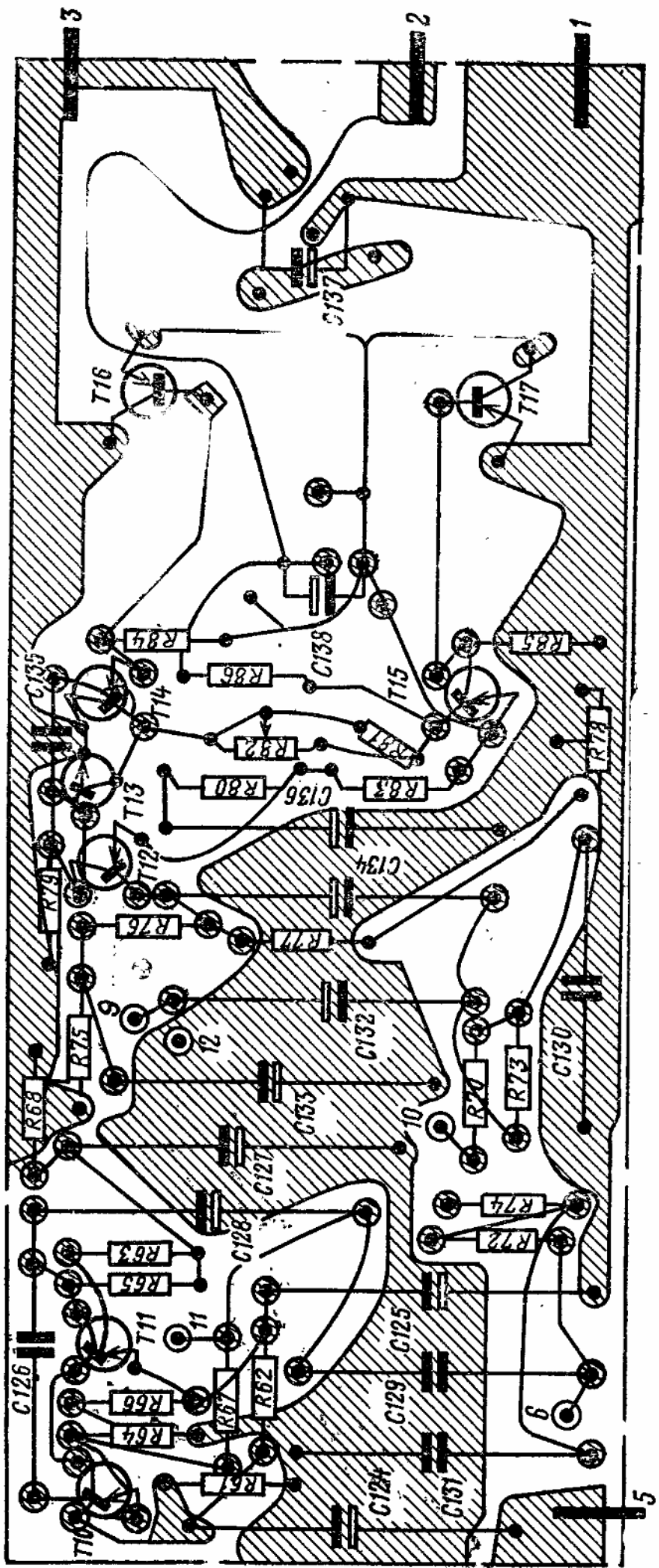


Рис. 50. Электромонтажная схема печатной платы блока ПЧ-НЧ приемника «Океан-205».



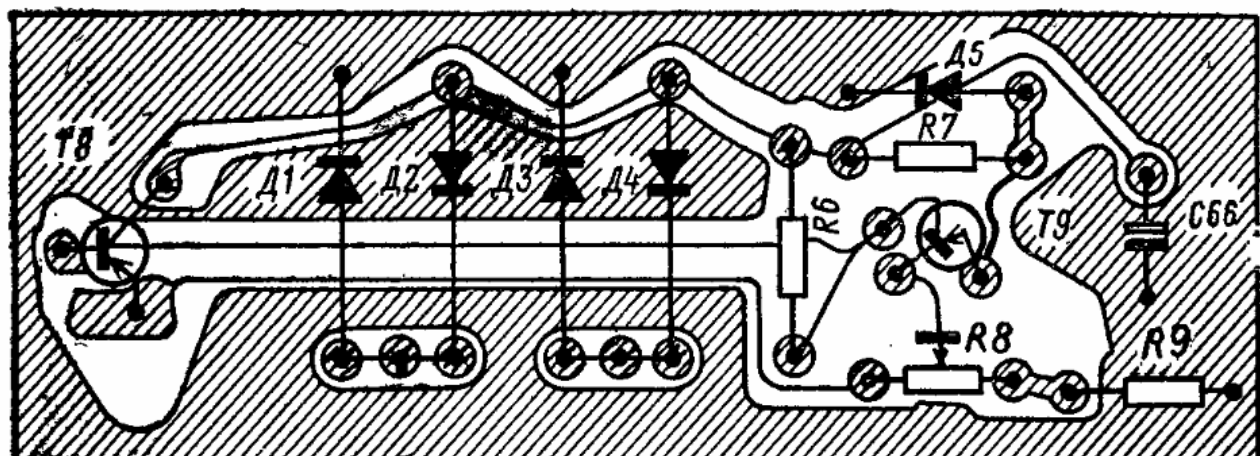


Рис. 52. Электромонтажная схема печатной платы блока питания приемника «Океан-205».

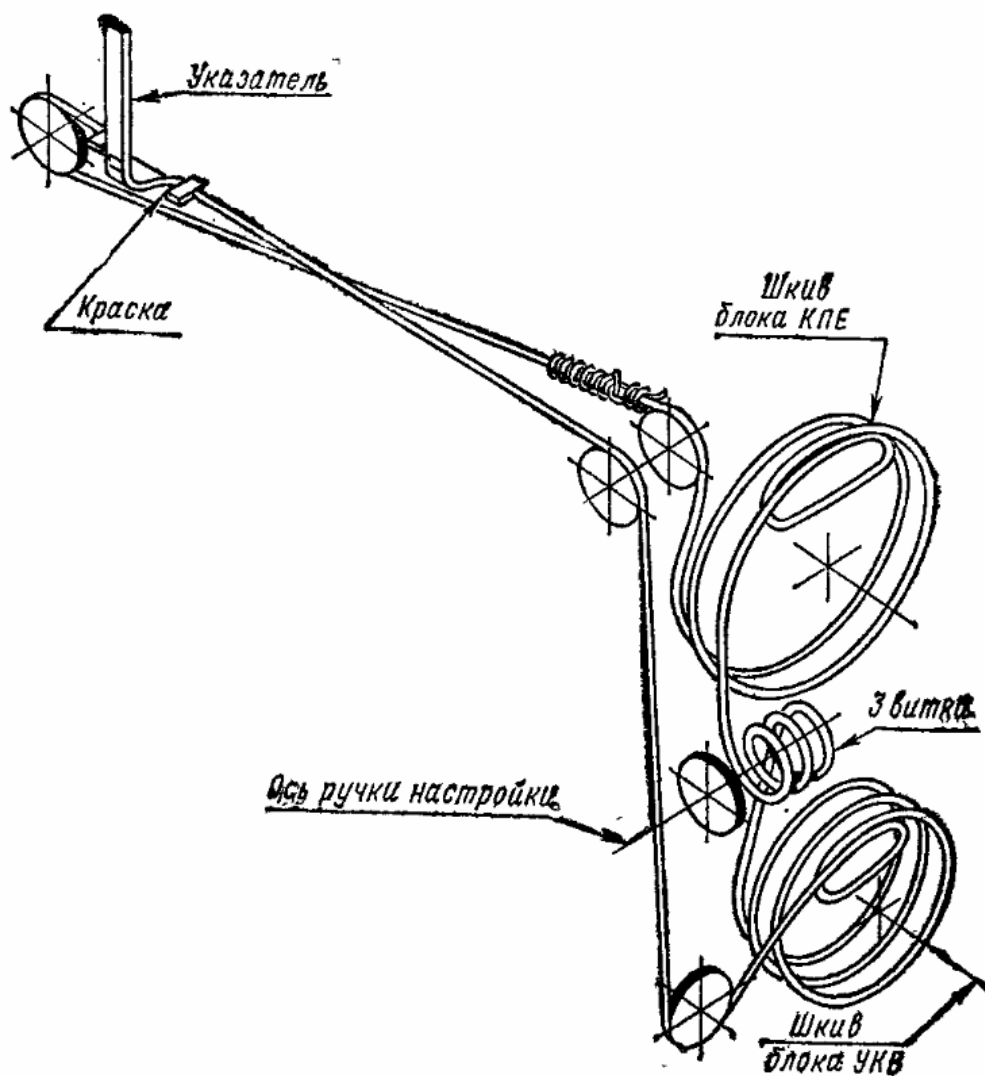


Рис. 53. Кинематическая схема верньерного устройства приемника «Океан-205».

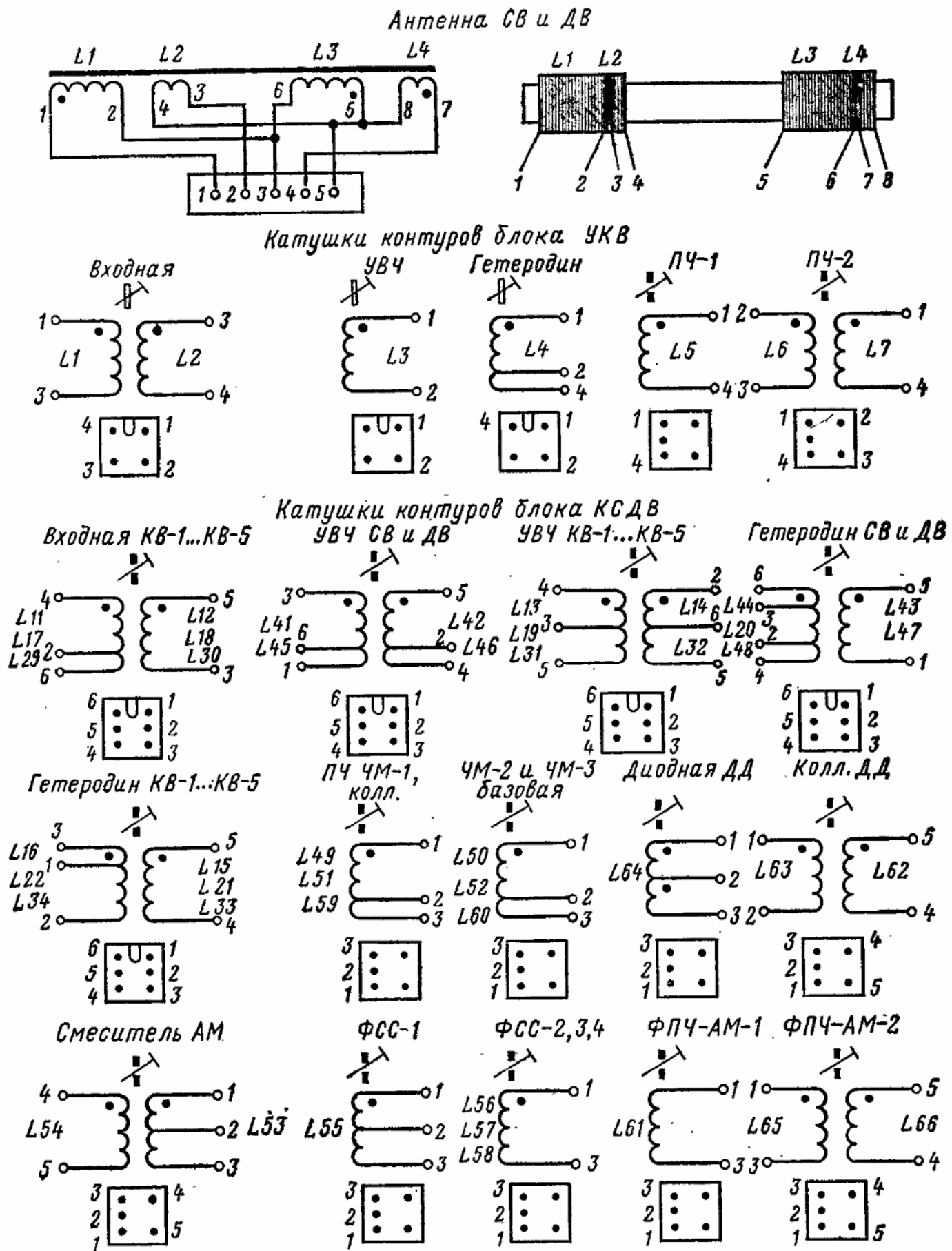


Рис. 54. Распайка выводов катушек контуров (вид снизу) приемника «Океан-205».

Таблица 16

Режимы работы транзисторов приемника „Океан-205“
по постоянному току

| Обозначение по схеме | Напряжение на электродах, В | | |
|-----------------------------------|-----------------------------|-------|-------|
| | U_B | U_S | U_K |
| Блок УКВ | | | |
| T_1 , усилитель ВЧ | 1,05 | 0,9 | 1,6 |
| T_2 , преобразователь частоты | 1,25 | 1,0 | 2,6 |
| Блок ВП-ПЧ | | | |
| T_1 , усилитель ВЧ-АМ или ПЧ-ЧМ | 1,4 | 1,2 | 7,6 |
| T_2 , усилитель ПЧ-АМ или ПЧ-ЧМ | 1,4 | 1,2 | 7,8 |
| T_3 , то же | 1,4 | 1,2 | 7,0 |
| T_4 | 1,0 | 0,7 | 7,9 |
| T_5 , гетеродин тракта АМ | 1,4 | 1,2 | 3,0 |
| T_6 , стабилизатор напряжения | 8,0 | 8,2 | 4,0 |
| T_7 то же | 2,5 | 2,4 | 8,0 |
| Блок УНЧ | | | |
| T_{10} , предварительный каскад | 0,25 | 0,15 | 0,55 |
| T_{11} , то же | 0,55 | 0,50 | 3,0 |
| T_{12} , третий каскад | 4,2 | 4,3 | 4,7 |
| T_{13} , четвертый каскад | 8,3 | 9,0 | 4,4 |
| T_{14} , фазоинвертор | 4,4 | 4,2 | 9,0 |
| T_{15} , | 4,0 | 4,25 | 0,05 |
| T_{16} , оконечный каскад | 4,25 | 4,2 | 9,0 |
| T_{17} то же | 0,05 | 0 | 4,2 |
| Блок питания | | | |
| T_8 , стабилизатор напряжения | 9,2 | 9,0 | 16,5 |
| T_9 то же | 8,6 | 8,4 | 9,2 |

Примечание. Напряжения измерены относительно плюса (+) источника питания при отсутствии сигнала на входе приемника в неработающем гетеродине.

Таблица 17

Уровни напряжения сигнала в контрольных точках УПЧ
приемника „Океан-205“ при работе в диапазонах АМ

| Обозначение по схеме | Напряжение | Условия измерения |
|----------------------|--------------|---|
| T_2 , база | 2...6 мВ | $U_{\text{вых}}=0,63$ В, $R_H=8$ Ом, $f=465$ кГц, |
| T_3 : | 100...200 мВ | $m=30\%$, $F=1000$ Гц, РГ—max |
| T_4 : | 2...3 мВ | |
| T_9 3, вывод 1 | 25...30 мВ | $U_{\text{вых}}=2,0$ В, $R_H=8$ Ом, $F=1000$ Гц, |
| T_{10} , база | 20...25 мВ | РГ—max |
| T_{12} » | 50...60 мВ | |
| T_{13} » | 35...40 мВ | |
| T_{16} » | 1,8...2 В | |
| T_{17} » | 0,25...0,3 В | |

Таблица 18

Уровни напряжения сигнала в контрольных точках приемника „Океан-205“ при работе в диапазоне ЧМ

| Обозначение по схеме | Напряжение | Условия измерения |
|----------------------|--------------|--|
| T_2 (УКВ), эмиттер | 25...40 мВ | $U_{\text{вых}} = 0,63 \text{ В}$, $R_i = 8 \Omega$, |
| T_1 (УПЧ), база | 40...60 мВ | $f = 10,7 \text{ МГц}$, девиация $\pm 15 \text{ кГц}$, |
| T_2 | 200...300 мВ | $P_G = \text{max}$ |
| T_3 | 1,0...1,8 мВ | |
| T_4 | 10...20 мВ | |

Таблица 19

Намоточные данные катушек контуров приемника „Океан-205“

| Наименование катушки | Обозначение по схеме | Номера выводов | Марка и диаметр провода, мм | Число витков | Индуктивность, мкГ, с точностью $\pm 10\%$ |
|----------------------|----------------------|----------------|-----------------------------|--------------|--|
|----------------------|----------------------|----------------|-----------------------------|--------------|--|

Блок УКВ

| | | | | | |
|----------------------|-------|-------|------------|----------|------|
| Входная | L_2 | 4—3 | ПЭВ-1 0,35 | 4,5 | 0,13 |
| Катушка связи | L_1 | 2—1 | ПЭВ-1 0,14 | 4 | — |
| Катушка УВЧ | L_3 | 1—2 | ПЭВ-1 0,35 | 6,5 | 0,18 |
| Гетеродинная катушка | L_4 | 1—2—4 | ПЭВ-1 0,35 | 1,75+2,5 | 0,16 |
| Катушка ПЧ-1 | L_5 | 4—1 | ПЭВ-1 0,1 | 16 | 2,6 |
| Катушка ПЧ-2 | L_6 | 3—2 | ПЭВ-1 0,1 | 24 | 6 |
| Катушка связи | L_7 | 1—4 | ПЭЛ-1 0,1 | 4 | — |
| Дроссель | D_p | 1—2 | ПЭЛ-0,18 | 35 | 0,74 |

Блок КСДВ

| | | | | | |
|---------------------|----------|-------|------------|----------|------|
| Входная КВ 25м | L_{11} | 4—2—6 | ПЭЛШО 0,2 | 8,5+3,5 | 1,4 |
| Катушка связи | L_{12} | 5—3 | ПЭЛШО 0,1 | 1,5 | — |
| УВЧ КВ 25м | L_{13} | 4—3—5 | ПЭЛШО 0,2 | 3,5+10,5 | 1,5 |
| Катушка связи | L_{14} | 2—6—1 | ПЭЛШО 0,1 | 2+2 | — |
| Гетеродинная КВ 25м | L_{16} | 3—1—2 | ПЭЛШО 0,2 | 2,5+9,5 | 1,15 |
| Катушка связи | L_{15} | 5—6 | ПЭЛШО 0,1 | 3 | — |
| Входная КВ 31м | L_{11} | 4—2—6 | ПЭЛШО 0,2 | 11,5+5,5 | 2,45 |
| Катушка связи | L_{12} | 5—3 | ПЭЛШО 0,1 | 1,5 | — |
| УВЧ КВ 31м | L_{13} | 4—3—5 | ПЭЛШО 0,2 | 6,5+12,5 | 2,45 |
| Катушка связи | L_{14} | 2—6—1 | ПЭЛШО 0,1 | 2+2 | — |
| Гетеродинная КВ 31м | L_{16} | 3—1—2 | ПЭЛШО 0,2 | 3+13 | 2,2 |
| Катушка связи | L_{15} | 5—6 | ПЭЛШО 0,1 | 3 | — |
| Входная КВ 41м | L_{17} | 4—2—6 | ПЭЛШО 0,14 | 15,5+7,5 | 4,0 |
| Катушка связи | L_{18} | 5—3 | ПЭЛШО 0,1 | 2,5 | — |

Продолжение табл. 19

| Наименование катушки | Обозн. чение по схеме | Номера выводов | Марка и диаметр провода, мм | Число витков | Индуктивность, мкГ, с точностью ±10% |
|----------------------|-----------------------------|----------------|-----------------------------|---------------|--------------------------------------|
| УВЧ КВ 41м | <i>L19</i> | 4—3—5 | ПЭЛШО 0,14 | 7,5+17,5 | 3,85 |
| Катушка связи | <i>L20</i> | 2—6—1 | ПЭЛШО 0,1 | 2+2 | — |
| Гетеродинная КВ 41м | <i>L16</i> | 3—1—2 | ПЭЛШО 0,14 | 4+16,5 | 2,78 |
| Катушка связи | <i>L15</i> | 5—6 | ПЭЛШО 0,1 | 4 | — |
| Входная КВ 49м | <i>L17</i> | 4—2—6 | ПЭЛШО 0,14 | 17,5+10,5 | 6,2 |
| Катушка связи | <i>L18</i> | 5—3 | ПЭЛШО 0,1 | 2 | — |
| УВЧ КВ 49м | <i>L19</i> | 4—3—5 | ПЭЛШО 0,14 | 6,5+23,5 | 6,0 |
| Катушка связи | <i>L20</i> | 2—6—1 | ПЭЛШО 0,1 | 2+2 | — |
| Гетеродинная КВ 49м | <i>L22</i> | 3—1—2 | ПЭЛШО 0,14 | 5,5+18,5 | 5,2 |
| Катушка связи | <i>L21</i> | 5—6 | ПЭЛШО 0,1 | 4 | — |
| Входная КВ 75м | <i>L29</i> | 4—2—6 | ПЭЛШО 0,14 | 16,5+6,5 | 6,2 |
| Катушка связи | <i>L30</i> | 5—3 | ПЭЛШО 0,1 | 3 | — |
| УВЧ КВ 75м | <i>L31</i> | 4—3—5 | ПЭЛШО 0,14 | 6+16 | 6,2 |
| Катушка связи | <i>L32</i> | 2—6—1 | ПЭЛШО 0,1 | 2+2 | — |
| Гетеродинная КВ 75м | <i>L34</i> | 3—1—2 | ПЭЛШО 0,14 | 3+18,5 | 5,2 |
| Катушка связи | <i>L33</i> | 5—6 | ПЭЛШО 0,1 | 2 | — |
| Антenna СВ | <i>L1</i> | 1—2 | ЛЭШО 10×0,07 | 50 | 210 |
| Катушка связи | <i>L2</i> | 3—4 | ПЭЛШО 0,18 | 5 | — |
| Антenna ДВ | <i>L3</i> | 5—6 | ПЭВ-2 0,18 | 160 | 560 |
| Катушка связи | <i>L4</i> | 7—8 | ПЭЛШО 0,18 | 12 | — |
| УВЧ СВ | <i>L41</i> | 3—6—1 | ПЭВ-2 0,1 | 152+40 | 230 |
| Катушка связи | <i>L42</i> | 5—2—4 | ПЭЛШО 0,1 | (4×4)+(4×4) | — |
| Гетеродинная СВ | <i>L44</i> | 6—3— —2—4 | ЛЭ 3×0,06 | 78+20+4 | 110 |
| Катушка связи | <i>L43</i> | 5—1 | ПЭЛШО 0,1 | 3×3 | — |
| УВЧ ДВ | <i>L45</i> | 3—6—1 | ПЭВ-2 0,08 | 610+110 | 2470 |
| Катушка связи | <i>L46</i> | 5—2—4 | ПЭЛШО 0,1 | (13×4)+(13×4) | — |
| Гетеродинная ДВ | <i>L48</i> | 6—3— —2—4 | ЛЭ 3×0,06 | 136+33+8 | 290 |
| Катушка связи | <i>L47</i> | 5—1 | ПЭШЛО 0,1 | 4×3 | — |

Блок ВЧ-ПЧ

| | | | | | |
|----------------------|------------|-------|-----------|-------|-----|
| Коллекторная ПЧ-ЧМ-1 | <i>L49</i> | 1—2—3 | ПЭВ-2 0,1 | 21+10 | 5,0 |
| Базовая ПЧ-ЧМ-1 | <i>L50</i> | 1—2—3 | ПЭВ-2 0,1 | 31+1 | 5,0 |
| Коллекторная ПЧ-ЧМ-2 | <i>L51</i> | 1—2—3 | ПЭВ-2 0,1 | 21+10 | 5,0 |
| Базовая ПЧ-ЧМ-2 | <i>L52</i> | 1—2—3 | ПЭВ-2 0,1 | 31+1 | 5,0 |

Продолжение табл. 19

| Наименование катушки | Обозначение по схеме | Номера выводов | Марка и диаметр провода, мм | Число витков | Индуктивность, мкГ, с точностью $\pm 10\%$ |
|----------------------|----------------------|----------------|-----------------------------|--------------|--|
| Согласующая КДС | <i>L</i> 54 | 4—5 | ПЭВ-2 0,1 | 30×3 | 117 |
| Катушка связи | <i>L</i> 53 | (1—2)+(2—3) | ПЭЛШО 0,1 | (7×3)+(7×3) | — |
| ФСС-1 | <i>L</i> 55 | 1—2—3 | ЛЭ 5×0,06 | 48+48 | 230 |
| ФСС-2 | <i>L</i> 56 | 1—3 | ЛЭ 5×0,06 | 32×3 | 230 |
| ФСС-3 | <i>L</i> 57 | 1—3 | ЛЭ 5×0,06 | 32×3 | 230 |
| ФСС-4 | <i>L</i> 58 | 1—3 | ЛЭ 5×0,06 | 32×3 | 230 |
| Коллекторная ПЧ-ЧМ-3 | <i>L</i> 59 | 1—2—3 | ПЭВ-2 0,1 | 21+10 | 5,0 |
| Базовая ПЧ-ЧМ-3 | <i>L</i> 60 | 1—2—3 | ПЭВ-2 0,1 | 30+2 | 5,0 |
| ФПЧ-АМ-1 | <i>L</i> 61 | 1—3 | ПЭВ-2 0,1 | 24×3 | 117 |
| Коллекторная ДД | <i>L</i> 63 | 1—2—3 | ПЭВ-2 0,1 | 11+21 | 5,0 |
| Катушка связи | <i>L</i> 62 | 5—4 | ПЭЛШО 0,1 | 5×4 | — |
| Диодная ДД | <i>L</i> 64 | (1—2)+(2—3) | ПЭВ-2 0,1 ПЭЛШО 0,1 | (4×4)+(4×4) | — |
| ФПЧ-АМ-2 | <i>L</i> 65 | 1—3 | ПЭВ-2 0,1 | 23×3 | 117 |
| Катушка связи | <i>L</i> 66 | 5—4 | ПЭЛШО 0,1 | 24×3 | — |

Примечания: 1. Катушки *L*42, *L*46, *L*53 и *L*64 намотаны в два провода.

2. Для входной катушки блока УКВ и катушки УВЧ допуск на величину индуктивности $\pm 5\%$.

Таблица 20

Намоточные данные силового трансформатора блока питания приемника „Океан-205“

| Обмотка | Номера выводов | Марка и диаметр провода | Число витков | Сопротивление постоянному току, Ом |
|-----------|----------------|-------------------------|--------------|------------------------------------|
| Первичная | 1—2—3 | ПЭВ-2 0,11 | 2200+1780 | 260+250 |
| Вторичная | 4—5 | ПЭВ-2 0,31 | 225 | 5,7 |

Примечание. Силовой трансформатор *Tr* собран на ленточном сердечнике из пластин электротехнической стали марки Э310 типа ШЛ10×20 мм.